#### RRx-001衍生物的合成和抗肿瘤活性研究

吴若南, 汤文敏, 高林, 吴岳林, 罗川, 缪震元

### Synthesis and Antitumor Activity of Novel RRx-001 Derivatives

WU Ruonan, TANG Wenmin, GAO Lin, WU Yuelin, LUO Chuan, MIAO Zhenyuan

在线阅读 View online: http://yxsj.smmu.edu.cn/cn/article/doi/10.12206/j.issn.2097-2024.202408053

### 您可能感兴趣的其他文章

#### Articles you may be interested in

新型Hsp90抑制剂的设计合成及其抗真菌和抗肿瘤活性研究

Design, synthesis and antifungal and antitumor activity research of novel Hsp90 inhibitors 药学实践与服务. 2025, 43(3): 124-135 DOI: 10.12206/j.issn.2097-2024.202501019

具核梭杆菌小分子抑制剂的筛选及其抗结直肠癌活性研究

Screening and anti-colorectal activity of small molecule inhibitors of *Fusobacterium nucleatum* 药学实践与服务. 2024, 42(12): 503-507 DOI: 10.12206/j.issn.2097-2024.202405009

黄芪甲苷衍生物治疗慢性心力衰竭小鼠的药效评价及作用机制研究

Efficacy and mechanism of astragaloside IV derivatives on chronic heart failure in mice 药学实践与服务. 2024, 42(5): 190-197 DOI: 10.12206/j.issn.2097-2024.202310004

紫杉醇棕榈酸酯的合成及其脂质体的制备与处方研究

Synthesis of paclitaxel palmitate and the formulation optimization of its liposomes 药学实践与服务. 2024, 42(9): 379–384, 410 DOI: 10.12206/j.issn.2097-2024.202404062

铁死亡调控蛋白GPX4的小分子抑制剂研究进展

Research progress on small-molecule inhibitors of ferroptosis regulatory protein GPX4 药学实践与服务. 2024, 42(9): 375-378 DOI: 10.12206/j.issn.2097-2024.202312075

mRNA肿瘤疫苗非病毒递送系统研究进展

Progress on mRNA tumor vaccine with non-viral delivery system

药学实践与服务. 2025, 43(3): 109-116 DOI: 10.12206/j.issn.2097-2024.202410034



# ・研究报告・

# RRx-001 衍生物的合成和抗肿瘤活性研究

吴若南<sup>1</sup>,汤文敏<sup>2,3</sup>,高 林<sup>1</sup>,吴岳林<sup>3</sup>,罗 川<sup>1</sup>,缪震元<sup>2</sup>(1.安徽华润金蟾药业有限公司,安徽淮北 235000; 2.海军医大学药学系,上海 200433; 3.上海应用技术大学化学与环境工程学院,上海 201418)

[摘要] 目的 研究引入共价结合片段后的 RRx-001 衍生物的抗肿瘤活性。方法 设计合成了 4 个目标化合物, 其结构通过 H NMR 和 HRMS 等确证; 选择人肺癌细胞株 A549 和人结肠癌细胞株 HCT116 进行体外抗肿瘤活性测试。结果 所有化合物均显示出一定的抗肿瘤活性, 其中化合物 ZM528 活性最高, 对两种肿瘤细胞株的 IC<sub>50</sub> 值分别为(5.1±4.8)和(6.0±2.7)μmol/L。结论 以新的共价结合片段代替 RRx-001 的溴代乙酰基后可保持抗肿瘤活性。

[关键词] RRx-001; 肿瘤免疫; 共价抑制剂; 合成; 抗肿瘤

[文章编号] 2097-2024(2025)00-0001-05 [DOI] 10.12206/j.issn.2097-2024.202408053

# Synthesis and Antitumor Activity of Novel RRx-001 Derivatives

WU Ruonan<sup>1</sup>, TANG Wenmin<sup>2,3</sup>, GAO Lin<sup>1</sup>, WU Yuelin<sup>3</sup>, LUO Chuan<sup>1</sup>, MIAO Zhenyuan<sup>2</sup>(1. Anhui Huarun Golden Frog Pharmaceutical Ltd., Anhui Huaibei 235000; 2. School of Pharmacy, Naval Medical University, Shanghai 200433; 3. School of Chemical and Environmental Engineering, Shanghai Institute of Technology, Shanghai 201418)

[Abstract] Objectives To study the antitumor activities of RRx-001 derivatives with novel covalent fragments Methods Four targeted compounds were designed and synthesized. The structures were confirmed by  $^1$ H NMR and HRMS. A549 and HCT116 cancer cell lines were selected for antiproliferative activity assays. Results All the compounds revealed antitumor activities and compound ZM528 showed the best antitumor activity against these two cell lines with IC50 values of  $(5.1\pm4.8)$  and  $(6.0\pm2.7)$  µmol/L, respectively. Conclusions The result indicated that bromoacetyl group of RRx-001 could be substituted with other covalent fragments.

[Key words] RRx-001; immuno-oncology; covalent inhibitor; synthesis; antitumor

RRx-001 是一种源于航空工业的肿瘤免疫治疗药物<sup>[1]</sup>,其化学结构中含有溴代乙酰和双硝基氮杂环丁基团,目前处于 III 期临床试验<sup>[2]</sup>。RRx-001 作为单一药物、放疗增敏剂或免疫增敏剂<sup>[3]</sup>,用于细胞肺癌<sup>[4]</sup>、转移性结直肠癌<sup>[5]</sup>、卵巢癌<sup>[6]</sup>和胶质母细胞瘤<sup>[7]</sup>等肿瘤的治疗,显示出良好的疗效和安全性。研究发现,RRx-001 具有多种作用机制,如靶向 CD47-SIRPα信号通路,使肿瘤相关巨噬细胞复极化,由抗炎症 M2 表型转为促炎症 M1 表型<sup>[8]</sup>;使肿瘤血管正常化,增加化疗药物渗透,产生代谢产物 RONS,导致肿瘤细胞坏死<sup>[9]</sup>;通过表观遗传抑制活性激活抑癌基因<sup>[10]</sup>等。作为靶向 CD47 的小分子药物,RRx-001 在临床试验中未发现 CD47 抗

[作者简介] 吴若南, 工程师, 研究方向: 抗肿瘤药研究与开发, Tel: 0561-3152858, Email: wurn521@163.com

[通信作者] 吴岳林,副教授,研究方向: 药物设计及药物合成工艺研究, Email: wyldraggon@sit.edu.cn; 罗川,教授级高级工程师,研究方向: 基于传统中药材的抗肿瘤天然产物研究, Tel: 0561-3152858, Email: luoch51@126.com

体药物常见的嗜血综合征,表现出优于抗体大分子药物的安全性[11]。但 RRx-001 也存在明显的输注部位反应,因而临床需要采用特殊的注射器材,通过血液共同输注方式给药。

RRx-001 结构中的溴代乙酰基为共价结合片段,也是其产生活性的药效基团<sup>[1]</sup>。为进一步探讨RRx-001 的构效关系,本文拟采用骨架跃迁的药物设计策略,以不同的共价结合片段代替溴代乙酰基,分析其对抗肿瘤活性的影响,从而为后续基于RRx-001 骨架的药物设计研究提供借鉴(图 1)。

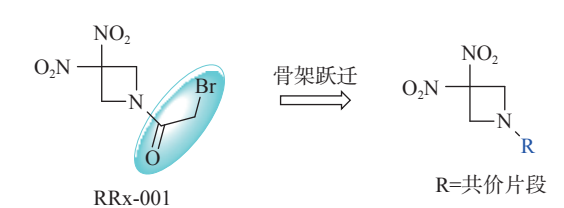


图 1 RRx-001 化学结构及其衍生物设计策略

### 1 仪器及试剂

实验所用试剂分别采购自泰坦、毕得、乐研等

公司,各类试剂均为市售分析纯或化学纯。核磁共振仪采用的是德国 Bruke 的 600、400 和 300 MHz型,采用 TMS 作为内标, DMSO- $d_6$ 、CDCl<sub>3</sub>或 D<sub>2</sub>O等为溶剂。耦合常数(J)和化学位移( $\delta$ )单位分别用 Hz 和 ppm 来表示。高分辨质谱为德国 Bruke micrOTOF 10257, 抗肿瘤活性测试所用仪器为Biotek Synergy H2 多功能酶标仪。薄层色谱(TLC)使用的硅胶板为 GF254(中国青岛海洋化学),柱层析使用的是 200~300 目硅胶(中国青岛海洋化学)。

#### 2 实验方法

- 2.1 关键中间体 3, 3-二硝基氮杂环丁烷 (7) 的合成
- 2.1.1 3-叔丁基-5-羟甲基-5-硝基-四氢-1, 3-噁嗪 (1)的合成<sup>[12]</sup>

将多聚甲醛(24.1 g, 0.8 mol)加入 250 ml 三颈烧瓶中,然后加入 0.16 % 氢氧化钠水溶液(40 ml),升温至 40 °C。缓慢滴加硝基甲烷(10.6 ml, 0.2 mol),滴加结束后升温至 60 °C,滴加叔丁胺(21.2 ml, 0.2 mol),滴加结束后继续反应 10 min。反应液冷却至室温后过滤,水洗,干燥得 38.8 g 白色固体 1,收率 89.4 %, mp: 136.1 ~ 138.2 °C。 <sup>1</sup>H NMR(400 MHz, DMSO- $d_6$ ) $\delta$ : 5.35(t, J=5.8 Hz, 1 H), 4.42(t, J=10.0 Hz, 2 H), 3.81(d, J=7.9 Hz, 1 H), 3.63–3.51(m, 4 H), 2.59(d, J=12.3 Hz, 1 H), 0.95(s, 9 H)。

2.1.2 2-叔丁胺基甲基-2-硝基-1, 3-丙二醇盐酸盐 (2)的合成<sup>[12]</sup>

两颈烧瓶中依次加入 500 ml 无水乙醇、12 ml 浓盐酸和化合物  $\mathbf{1}(20.0 \text{ g}, 0.09 \text{ mol})$ ,加热回流反应 6 h。反应结束后,减压蒸去溶剂,加入异丙醇搅拌 0.5 h,过滤,洗涤,干燥得 17.0 g 白色晶体  $\mathbf{2}$ ,收率 78.2 %,mp:  $175.5 \sim 178.3 \%$ 。  $^1\text{H NMR}(400 \text{ MHz}, D_2\text{O})\delta$ : 4.12(d, J=12.5 Hz, 2 H),3.88(d, J=12.5 Hz, 2 H),3.76(s, 2H),1.36(s, 9 H)。

2.1.3 1-叔丁基-3-羟甲基-3-硝基氮杂环丁烷盐酸盐(3)的合成<sup>[12]</sup>

在氮气保护下,将化合物 2(5.0 g, 0.02 mol)加入到 250 ml 三颈烧瓶中,分别加入 50 ml 无水四氢 呋喃和偶氮二甲酸二异丙酯(5.6 g, 0.03 mol),升温 至  $60 ^{\circ}$  。然后,将溶有三苯基磷(7.4 g, 0.03 mol)的四氢呋喃溶液(15 ml)滴加到反应液中,滴加结束后继续反应 5 h。反应液冷却至室温后过滤,洗涤,干燥得 3.9 g 白色固体 3,收率  $86.6 ^{\circ}$ %,mp:  $165.3 \sim 174.0 ^{\circ}$  。  $^{\circ}$  H NMR( $400 \text{ MHz}, D_2O$ ) $\delta$ :  $4.74 ^{\circ}$ 

(s, 2 H), 4.43(s, 2 H), 4.16(s, 2 H), 1.26(s, 9 H)。 2.1.4 1-叔丁基-3,3-二硝基氮杂环丁烷(4)的合成<sup>[12]</sup>

将化合物 3(7.0 g, 0.03 mol)和氢氧化钠水溶液(4.3 g, 90 ml  $\text{H}_2\text{O}$ )加入到 250 ml 两颈烧瓶中,室温搅拌 2 h, 冰浴冷却到  $10 \,^{\circ}\text{C}$  以下后,滴加亚硝酸钠(8.6 g, 0.12 mol)、 $K_3\text{Fe}(\text{CN})_6(1.0 \text{ g}, 0.003 \text{ mol})$ 和水(5 ml)配成的溶液。控制反应温度为  $10 \,^{\circ}\text{C}$ 下,分批次加入过硫酸钠(10.3 g, 0.04 mol),然后升温至室温,反应过夜。反应液用  $20 \,^{\circ}\text{ml}$ 二氯甲烷萃取 3次,有机相用无水硫酸钠干燥,过滤,滤液减压蒸去溶剂得  $5.5 \,^{\circ}\text{g}$  黄色液体 4, 收率  $88.1 \,^{\circ}\text{%}$ 。  $^{\circ}\text{H}$  NMR( $400 \,^{\circ}\text{MHz}$ ,  $\text{CDCl}_3$ ) $\delta$ :  $4.12(\text{s}, 4\,^{\circ}\text{H})$ ,  $1.05(\text{s}, 9\,^{\circ}\text{H})$ 。  $2.1.5 \,^{\circ}\text{N-Z}$  就基-3,3-二硝基氮杂环丁烷(5)的合成[12]

25 ml 两颈烧瓶中依次加入化合物 **4**(5.0 g, 0.03 mol)、醋酸酐(9.8 ml, 0.11 mol)和三氟硼酸乙醚溶液(0.5 ml, 3.88 mmol),加热至 120 ℃,回流反应 12 h。减压蒸去溶剂,柱层析纯化(二氯甲烷:甲醇=100:1)得 2.8 g 淡黄色固体 **5**, 收率 60.0 %, mp: 110.1~113.9 ℃。 <sup>1</sup>H NMR(600 MHz, CDCl<sub>3</sub>)  $\delta$ : 4.98(s, 2 H), 4.82(s, 2 H), 2.02(s, 3 H)。

2.1.6 3,3-二硝基氮杂环丁烷盐酸盐(6)的合成[13]

将化合物 **5**(1.0 g, 5.29 mmol)加入到 50 ml 单 颈烧瓶,然后加入 6.3 ml 的 5 % 盐酸溶液,回流反应 4 h。反应液冷却至室温,过滤,滤液减压蒸去溶剂得 0.6 g 黄色固体 **6**, 收率 58.2 %, mp: 150.3 ~ 155. 2 °C。 <sup>1</sup>H NMR(600 MHz, DMSO-d6) $\delta$ : 4.98(s, 4 H), 3.42(s, 2 H)。

2.1.7 3, 3-二硝基氮杂环丁烷(7)的合成<sup>[13]</sup>

将化合物 6(0.6 g, 3.16 mmol)和 15 ml 水加入到 50 ml 两颈烧瓶中,升温至  $40 \,^{\circ}$ C,再滴加  $5 \,^{\circ}$  碳酸氢钠溶液至 pH 为 8。反应液用 10 ml 二氯甲烷萃取  $3 \,^{\circ}$ 次,有机相用无水硫酸钠干燥,过滤,减压蒸去溶剂得  $0.4 \,^{\circ}$ g 黄色油状液体 7,收率  $84.7 \,^{\circ}$ 6.  $^{\circ}$ H NMR( $600 \,^{\circ}$ MHz, CDCl<sub>3</sub>) $\delta$ :  $4.51(\text{s}, 4 \,^{\circ}$ H),  $2.20(\text{s}, 1 \,^{\circ}$ H)。  $2.2 \,^{\circ}$ RRx- $001 \,^{\circ}$ 衍生物(ZM528-ZM531)的合成

将关键中间体 3,3-二硝基氮杂环丁烷 7(74.0 mg, 0.50 mmol)加入到 25 ml 单颈烧瓶后,分别加入干燥的二氯甲烷 (4 ml)和碳酸氢钠 (42.0 mg, 0.50 mmol),冰浴冷却至 0  $^{\circ}$  后,滴加各种酰氯或磺酰氯(0.55 mmol),完全反应后减压蒸去溶剂,柱层析纯化(二氯甲烷:甲醇=100:1)得化合物 ZM528 ~ ZM531。

**ZM528**, 白色固体, 83 mg, 收率 61.3%。 <sup>1</sup>H NMR(300 MHz, CDCl<sub>3</sub>) δ: 6.46(dd, *J*=16.9, 1.2 Hz, 1 H), 6.16(dd, *J*=16.9, 10.4 Hz, 1 H), 5.88(dd,

J=10.4, 1.2 Hz, 1 H), 4.96(s, 4 H). HRMS(ESI, positive)m/z calcd for  $C_5H_7N_3O_5$  [M + H]<sup>+</sup>: 202.0464; found 202.0458 $_{\odot}$ 

**ZM529**, 白色固体, 77 mg, 收率 60.2%。 <sup>1</sup>H NMR(300 MHz, DMSO-d6) $\delta$ : 7.47(s, 2 H), 4.77(s, 4 H). HRMS(ESI, positive)m/z calcd for  $C_3H_6N_4O_6S$  [M+H]<sup>+</sup>: 226.0008; found 226.0013。

**ZM530**, 白色固体, 54 mg, 收率 50.1%。 <sup>1</sup>H NMR(600 MHz, CDCl<sub>3</sub>) $\delta$ : 5.63–5.61(m, 1 H), 5.45(s, 1 H), 4.93(s, 4 H), 1.97(dd, J=1.6, 1.1 Hz, 3 H)。 HRMS(ESI, positive)m/z calcd for  $C_7H_9N_3O_5$  [M + H]<sup>+</sup>: 216.0620; found 216.0615。

**ZM531**, 淡黄色固体, 81 mg, 收率 69.6%。 <sup>1</sup>H NMR(600 MHz, CDCl<sub>3</sub>)δ: 6.58(dd, *J*=16.5, 9.8 Hz, 1 H), 6.46(d, *J*=16.6 Hz, 1 H), 6.27(d, *J*=9.8 Hz, 1 H), 4.75(s, 4 H)。

## 2.3 体外抗肿瘤活性测试

选用人结肠癌细胞 HCT-116 和人非小细胞肺癌细胞 A549, 于海军军医大学药物化学教研室冻存和传代。96 孔板边缘每孔加入 100 μl 的 PBS 溶液防止边缘效应, 内部每孔加入浓度为 7×10⁴个/ml 的细胞悬液 100 μl, 置于 37 ℃、5% 二氧化碳培养箱内。24 h 后, 弃去 96 孔板内培养液, 每孔分别加入 100 μl 受试化合物样品液和对照品液, 设三复

孔。将 96 孔板置于 37  $\mathbb{C}$ 、5% 二氧化碳培养箱中培养 72 h。实验采用 CCK-8 法 $[^{14-16}]$ 。在基础培养基中加入 10 % CCK-8 试剂制成混合液, 弃去 96 孔板内旧培养基, 加入混合液, 100  $\mu$ l/孔, 将 96 孔板置于 37  $\mathbb{C}$ 、5 % 二氧化碳培养箱中孵育 2~4 h。使用酶标仪于 450 nm 波长处测定荧光 OD 值。细胞生长抑制率 IC%=(空白对照孔 OD 值-给药孔 OD 值)/空白对照孔 OD 值×100%。根据各个浓度的 IC% 值,用 GraphPad 软件进行线性回归,算出各受试化合物抑制细胞生长 50% 的药物浓度,即 IC500。

## 3 结果与讨论

#### 3.1 化学合成

参考文献<sup>[12-13]</sup>设计了关键中间体 3, 3-二硝基 氮杂环丁烷的合成路线,合成路线见图 2。以多聚 甲醛和硝基甲烷为起始原料,通过环合、开环、Mistunobu、反向 Henrry、脱叔丁基/乙酰化、脱乙酰基、碱化等 7步反应合成出关键中间体 7, 总收率为 14.9%。其中,反向 Henrry 反应对催化剂的用量和反应温度较为敏感,经过反应条件优化,反应温度为  $10 \sim 15$   $^{\circ}$   $^{\circ}$  时,亚硝酸钠和  $_{\circ}$   $^{\circ}$   $^{\circ}$  的用量分别为化合物  $^{\circ}$  的 4 倍和  $^{\circ}$   $^{\circ}$  的,该步反应收率达  $^{\circ}$  88.1%,相比原有路线提升了  $^{\circ}$  6.3%。

$$\begin{array}{c} O \\ H \\ \end{array} \\ H \\ \end{array} \\ H \\ \end{array} \\ + \begin{array}{c} CH_3NO_2 \\ \end{array} \\ \begin{array}{c} NaOH, t\text{-BuNH}_2 \\ \hline 60 \text{ °C} \end{array} \\ \end{array} \\ \begin{array}{c} O_2N \\ \hline \\ N \\ \end{array} \\ \end{array} \\ O \\ \end{array} \\ \begin{array}{c} NaOH, NaNO_2 \\ \hline \\ N_3Fe(CN)_6, Na_2S_2O_8 \\ \hline \\ 0 \text{ °C} \end{array} \\ \begin{array}{c} NO_2 \\ \hline \\ 0 \text{ °C} \end{array} \\ \end{array} \\ \begin{array}{c} NO_2 \\ \hline \\ 0 \text{ °C} \end{array} \\ \end{array} \\ \begin{array}{c} NO_2 \\ \hline \\ Reflux \end{array} \\ \begin{array}{c} NO_2 \\ \hline \\ Reflux \end{array} \\ \begin{array}{c} NO_2 \\ \hline \\ Reflux \end{array} \\ \end{array} \\ \begin{array}{c} NO_2 \\ \hline \\ Reflux \end{array} \\ \begin{array}{c} NO_2 \\ \hline \\ \\ NH.HCI \end{array} \\ \begin{array}{c} NO_2 \\ \hline \\ \\ NH.HCI \end{array} \\ \begin{array}{c} NO_2 \\ \hline \\ \\ \\ NH.HCI \end{array} \\ \begin{array}{c} NO_2 \\ \hline \\ \\ \\ \\ \\ \\ \end{array} \\ \begin{array}{c} NO_2 \\ \hline \\ \\ \\ \\ \\ \\ \\ \\ \end{array} \\ \begin{array}{c} NO_2 \\ \hline \\ \\ \\ \\ \\ \\ \\ \\ \\ \end{array} \\ \begin{array}{c} NO_2 \\ \hline \\ \\ \\ \\ \\ \\ \\ \\ \\ \end{array} \\ \begin{array}{c} NO_2 \\ \hline \\ \\ \\ \\ \\ \\ \\ \\ \end{array}$$

图 2 关键中间体 3,3-二硝基氮杂环丁烷的合成路线

将关键中间体 7 与各种酰氯或磺酰氯在三乙胺和碳酸氢钠催化下发生酰胺化反应,以较高收率合成得到目标化合物 ZM528~ZM531(图 3)。

#### 3.2 体外抗肿瘤活性研究

采用 CCK-8 法测定目标化合物对肿瘤细胞株 HCT-116 和 A549 的体外抗肿瘤活性,以多柔比星 (DOX)和 RRx-001 为阳性对照药,结果见表 1。从

表中可以看出, 4 个化合物均能保持一定的抗肿瘤活性, 但相比 RRx-001, 均出现明显下降, 其中丙烯酰基类化合物 **ZM528** 活性最高, 对 HCT-116 和 A549 的 IC<sub>50</sub> 分别为(6.0 $\pm$ 2.7)和(5.1 $\pm$ 4.8) $\mu$ mol/L。当丙烯酰基的 2 位引入甲基后活性明显下降, 以磺酰基代替酰基后, 活性也呈现下降趋势。以磺酰胺基代替丙烯酰基后, 对 HCT-116 和 A549 肿瘤细胞

$$O_{2}N \xrightarrow{NO_{2}} Acyl chloride, DCM, NaHCO_{3}, Et_{3}N O_{2}N \xrightarrow{NO_{2}} O_{2}N \xrightarrow{NO_{2}} R$$

$$ZM528: R = ZM529: R = NH_{2} ZM530: R = ZM531: R = ZM531:$$

图 3 RRx-001 类似物的合成路线

株的活性分别下降了 6.4 和 5.4 倍,但当以磺酰基代替磺酰胺基后活性基本保持。以上研究结果初步表明, RRx-001 的溴代乙酰基对抗肿瘤活性影响较大,以其他共价结合片段代替后活性出现明显下降。

表 1 RRx-001 衍生物体外抗肿瘤活性

化合物	$IC_{50}(\mu mol/L)$	
	HCT-116细胞株	A549细胞株
RRx-001	0.94±0.7	<0.2
ZM528	6.0±2.7	5.1±4.8
ZM529	38.1±19.7	27.3±10.4
ZM530	>50	14.4±3.0
ZM531	34.5±13.5	36.3±5.3
DOX	< 0.2	< 0.2

### 4 结论

采用骨架跃迁药物设计策略,设计合成出4个RRx-001衍生物。体外抗肿瘤活性研究发现,所有新化合物对HCT-116和A549细胞株的抑制活性均显示出明显的下降,但能保持一定的抗肿瘤活性,其中丙烯酰基类化合物 ZM528活性最高,对两种肿瘤细胞株的IC<sub>50</sub>分别为(6.0±2.7)和(5.1±4.8) µmol/L,其原因可能是RRx-001的共价结合片段为溴乙酰基,结合活性高于其他共价结合片段。初步构效关系显示,氮杂环丁烷的氨基上溴代乙酰基取代后活性最高,丙烯酰基取代活性次之。研究结果和初步构效关系为以RRx-001为骨架的新型靶向CD47药物的进一步优化设计研究提供了理论指导。

#### 【参考文献】

- [1] ORONSKY B, GUO X N, WANG X H, et al. Discovery of RRx-001, a myc and CD47 downregulating small molecule with tumor targeted cytotoxicity and healthy tissue cytoprotective properties in clinical development[J]. J Med Chem, 2021, 64(11): 7261-7271.
- [2] ORONSKY B, REID T R, LARSON C, et al. REPLATINUM

- Phase III randomized study: RRx-001 + platinum doublet versus platinum doublet in third-line small cell lung cancer[J]. Future Oncol, 2019, 15(30): 3427-3433.
- [3] JURGENSEN K J, SKINNER W K J, ORONSKY B, et al. RRx-001 radioprotection: enhancement of survival and hematopoietic recovery in gamma-irradiated mice[J]. Front Pharmacol, 2021, 12: 676396.
- [4] MORGENSZTERN D, ROSE M, WAQAR S N, et al. RRx-001 followed by platinum plus etoposide in patients with previously treated small-cell lung cancer[J]. Br J Cancer, 2019, 121(3): 211-217.
- [5] REID T R, ABROUK N, CAROEN S, et al. ROCKET: phase II randomized, active-controlled, multicenter trial to assess the safety and efficacy of RRx-001 + irinotecan vs. single-agent regorafenib in third/fourth line colorectal cancer[J]. Clin Colorectal Cancer, 2023, 22(1): 92-99.
- [6] REID T, ORONSKY B, CAROEN S, et al. Phase 1 pilot study of RRx-001 + nivolumab in patients with advanced metastatic cancer(PRIMETIME)[J]. Front Immunol, 2023, 14: 1104753.
- [7] FINE H, REID T, CAROEN S, et al. A multicenter, phase 1, dose escalation clinical trial(G-FORCE-1) of XRT, RRx-001 and temozolomide followed by temozolomide +/- RRx-001 in newly diagnosed glioblastoma[J]. Front Oncol, 2023, 13: 1176448.
- [8] ORONSKY B, PAULMURUGAN R, FOYGEL K, et al. RRx-001: a systemically non-toxic M2-to-M1 macrophage stimulating and prosensitizing agent in Phase II clinical trials[J]. Expert Opin Investig Drugs, 2017, 26(1): 109-119.
- [9] JANI V P, ASARO R, ORONSKY B, et al. RRx-001 increases erythrocyte preferential adhesion to the tumor vasculature[J]. Int J Mol Sci, 2021, 22(9): 4713.
- [10] ZHAO H J, NING S C, SCICINSKI J, et al. Epigenetic effects of RRx-001: a possible unifying mechanism of anticancer activity[J]. Oncotarget, 2015, 6(41): 43172-43181.
- [11] ORONSKY B, CABRALES P, CAROEN S, et al. RRx-001, a downregulator of the CD47- SIRPα checkpoint pathway, does not cause anemia or thrombocytopenia[J]. Expert Opin Drug Metab Toxicol, 2021, 17(4): 355-357.
- [12] 李洪珍, 舒远杰, 刘世俊, 等. N-乙酰基-3, 3-二硝基氮杂环丁 烷的合成 [J]. 化学研究与应用, 2004, 16(3): 393-395.
- [13] 李洪珍, 舒远杰, 黄奕刚, 等. 3, 3-二硝基氮杂环丁烷和 1, 1'-亚甲基-双(3, 3-二硝基-1-氮杂环丁烷)的合成研究 [J]. 有机 化学, 2004, 24(7): 775-777.

- [14] TANG W M, ZHANG Y M, YANG K L, et al. Discovery of novel 3, 11-bispeptide ester arenobufagin derivatives with potential *in vivo* antitumor activity and reduced cardiotoxicity[J]. Chem Biodivers, 2023, 20(2): e202200911.
- [15] ZHANG Y M, YANG K L, YE S, et al. Application of a fluorine strategy in the lead optimization of betulinic acid to the dis-
- covery of potent CD73 inhibitors[J]. Steroids, 2022, 188: 109112.
- [16] 罗川, 马建江, 缪震元, 等. 沙蟾毒精酯类衍生物的合成和抗肿瘤活性研究 [J]. 药学实践杂志, 2021, 39(1): 35-37,57.

[收稿日期] 2024-08-30 [修回日期] 2025-03-06 [本文编辑] 崔俐俊